

بررسی قطعه E شکل جهت تعیین چقرمگی شکست مواد در بارگذاری برشی

علی اسد کرمی و مجید رضا آیت الله

چکیده: در این مقاله یکی از قطعات متداول برای محاسبه چقرمگی شکست در بارگذاری مود ۲ موسوم به قطعه E شکل مورد بررسی قرار می‌گیرد. به این منظور قطعه مورد نظر توسط روش اجزاء محدود مدلسازی شده و ضرایب شدت تنش آن محاسبه می‌شود. در تحقیقات قبلی انجام شده برروی این نمونه فرض شده است که به هنگام آزمایش‌های استاندارد شکست قطعه در حالت بارگذاری مود ۲ خالص قرار دارد. منتها نتایج بدست آمده در تحقیق حاضر نشان می‌دهد که در این قطعه علاوه بر تغییر فرم‌های ناشی از مود ۲، مقدار قابل ملاحظه‌ای از اثرات مود ۱ نیز موجود می‌باشد. برای تخمین میزان خطای ناشی از نتایج تست وقتی که اثر مود ۱ منظور نمی‌شود، معیار شکست حداقل تنش مماسی مورد استفاده قرار می‌گیرد. نتایج محاسبات مربوطه نشان می‌دهد که چقرمگی شکست به دست آمده از آزمایش روی قطعه E شکل از خطای قابل توجهی برخوردار خواهد بود مگر آنکه تغییر فرم‌های ناشی از مود ۱ نیز در نتایج آزمایش منظور گردد. در خاتمه برای تعیین مقدار صحیح چقرمگی شکست مود ۲ اصلاحاتی روی نحوه انجام آزمایش در قطعه E شکل پیشنهاد می‌شود.

واژه‌های کلیدی: قطعه E شکل، چقرمگی شکست مود ۲، روش اجزاء محدود، معیار حداقل تنش مماسی

قیدوبند بارگذاری آن به روش اجزاء محدود مدلسازی کردند. سپس رابطه بین ضریب شدت تنش و مقدار بار برشی را محاسبه نموده و از رابطه بدست آمده در این قسمت به اندازه گیری چقرمگی شکست در حالت مود ۲ به روش آزمایشگاهی پرداختند. بانکرسیلز و آرکان [2] همچنین با استفاده از پارامترهای شکست محاسبه شده به روش اجزاء محدود و به کمک تئوری ماکزیمم تنش مماسی^[۱]، مقدار تنش بحرانی و امتداد شروع شکست را تخمین زده و نهایتاً جوابهای حاصل را با جوابهای آزمایشگاهی مقایسه نمودند. به طور مشابه ریچارد[4] قطعه دیگری با عنوان نمونه فشرده برشی^۲ را برای محاسبه چقرمگی شکست در حالت مود ۲ طراحی و معرفی نمود. وی با استفاده از قطعه پیشنهادی خود و قید و بندی‌های مناسب بارگذاری، نتایج مربوط به ضریب شدت تنش مود ۲ در این نمونه را برای طول ترک‌های مختلف ارائه کرد. مایزو گلدوین [5] از قطعه یک ترکه منگنه ای^۳ برای محاسبه چقرمگی شکست مود ۲ با استفاده از روش آزمایشگاهی (تجربی) استفاده نمودند. همچنین گلدوین [6] به طور جداگانه در آزمایشی مشابه به محاسبه

۱. مقدمه

یکی از پارامترهای مهم در پیش‌بینی شکست قطعات ترکدار، چقرمگی شکست می‌باشد. اگرچه پارامتر مذکور جزو خواص ماده محسوب می‌شود، تحت مودهای مختلف بارگذاری مقدار استحکام شکست یک ماده تغییر می‌کند. برای تعیین چقرمگی شکست، لازم است که از قطعات ترکدار استاندارد و آزمایشگاهی شکست مناسب استفاده کرد[1]. عنوان مثال برای تخمین حد استحکام ترک‌هایی که تحت بار برشی خالص قرار می‌گیرند، مقدار چقرمگی شکست در مود ۲ مورد نیاز می‌باشد. مروری بر منابع نشان می‌دهد که بررسی پارامترهای ترک در قطعات استاندارد جهت تعیین چقرمگی شکست، چه بصورت تحلیلی و یا عددی بیشتر بر روی نمونه‌هایی که تحت بارگذاری مود اول هستند انجام پذیرفته است. با این وجود مطالعات محدودی در خصوص مود ۲ شکست نیز انجام گرفته است. به عنوان مثال می‌توان از قطعه طراحی شده توسط بانکرسیلز و آرکان [2] نام برد. ایشان قطعه طراحی شده را به همراه

مقاله در تاریخ ۱۳۸۱/۱۰/۸ دریافت شده و در تاریخ ۱۳۸۲/۱۲/۱۸ به تصویب نهایی رسیده است.

دکتر مجید رضا آیت الله دانشیار دانشکده مهندسی مکانیک دانشگاه علم و

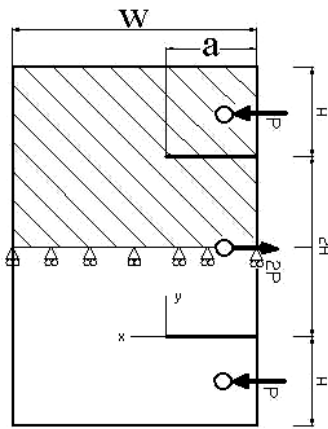
صنعت ایران. m.ayat@just.ac.ir

علی اسد کرمی کارشناس ارشد مهندسی مکانیک

^۱ Maximum Tangential Stress

^۲ Compact Shear Specimen

^۳ Single Crack Punch Specimen



شکل ۱. هندسه دو بعدی و بارگذاری قطعه E شکل

متداول ترین روش برای بررسی این موضوع که آیا قطعه مورد نظر می‌تواند بارگذاری مود ۲ خالص را فراهم آورد یا خیر، استفاده از روش اجزاء محدود می‌باشد. به این منظور ابتدا مدل مناسبی از نمونه ترکدار در نرم افزار اجزاء محدود ایجاد می‌شود. سپس مقادیر ضرایب شدت تنش K_{II}, K_I تحت یک بار دلخواه محاسبه می‌گردد. چنانچه مقدار K_I به دست آمده، بسیار کوچکتر از مقدار K_{II} باشد می‌توان قطعه را تحت شرایط مود ۲ خالص در نظر گرفت.

در این مقاله برای محاسبه K_{II}, K_I در قطعه E شکل از روش انتگرال J استفاده شده است، انتگرال J انتگرال خطی می‌باشد که روی هر منحنی دلخواه بسته ای که از یک لبه ترک شروع شده و به لبه دیگر آن منتهی می‌گردد، تعریف می‌شود و مقدار این انتگرال برای تمامی چنین منحنی هایی ثابت می‌باشد [12].

در برخی از نرم افزارهای مهم اجزاء محدود مانند نرم افزار ABAQUS [13] (که در این تحقیق مورد استفاده قرار گرفته است)، مقدار انتگرال J مستقیماً توسط نرم افزار قابل محاسبه می‌باشد. پس از تعیین مقدار J و با کمک گرفتن از رابطه موجود بین J و ضرایب شدت تنش، می‌توان مقدار K_{II}, K_I را از مجموعه روابط زیر تعیین نمود [13]:

$$K_I = \sqrt{\frac{JE'}{1+R_4^2}} \quad (1)$$

$$K_{II} = R_4 K_I \quad (2)$$

که در رابطه بالا K_I ضریب شدت تنش مود اول و K_{II} ضریب شدت تنش مود دوم بوده و:

$$R_4 = \left[\frac{u_1(x, 0^+) - u_1(x, 0^-)}{u_2(x, 0^+) - u_2(x, 0^-)} \right] \quad (3)$$

تشنج صفحه ای: $E' = E$ و
کرنش صفحه ای:

$$E' = \frac{E}{1-\nu^2} \quad (4)$$

چقرمگی شکست در حالت مود ۲ با استفاده از قطعه دو ترکه منگنه ای^۱ پرداخت.

نمونه های دیگری نیز جهت تخمین شکست در مود ۲ تاکنون مورد استفاده قرار گرفته است. بعنوان مثال می‌توان از نمونه های زیر نام برد: ترک تحت بار چهار نقطه ای ضد متقارن [7,8]، ترک زاویه دار مرکزی تحت بار دو محوری [9] و ترک زاویه دار در استوانه جدار نازک تحت پیچش [10].

قطعه E شکل از دیگر قطعات مرسوم است که برای محاسبه چقرمگی شکست برشی مورد استفاده قرار می‌گیرد. قطعه مذکور در تحقیقات قبلی توسط جونز و چیشلم [11] بررسی شده است. ایشان با پیش فرض اولیه که این قطعه، مود ۲ خالص را فراهم می‌آورد، ضریب شدت تنش مود ۲ (K_{II}) را در این قطعه از روش تجمع مرزی^۲ محاسبه نمودند. سپس با استفاده از رابطه بدست آمده بین K_{II} و نیروی برشی سعی در تعیین چقرمگی شکست در چند ماده از طریق آزمایش نمودند. در این مقاله از روش اجزاء محدود، تحلیل جامع تری روی قطعه E شکل انجام گرفته و هر دو ضریب شدت تنش K_I, K_{II} محاسبه می‌شوند. نتایج بدست آمده نشان می‌دهد که برخلاف فرض اولیه جونز و چیشلم [11] مقدار قابل ملاحظه ای از اثرات مود I در این قطعه موجود است. تاثیرات ناشی از در نظر نگرفتن K_I روی رفتار شکست ترد در قطعه E شکل نیز مطالعه خواهد شد.

۲. قطعه E شکل

۱-۲. معرفی قطعه

قطعه E شکل از هندسه ای مستطیلی شکل برخوردار بوده و روی یکی از لبه های آن، دو ترک لبه ای موازی موجود می‌باشد. تصویر ساده شده ای از قطعه در شکل (۱) مشاهده می‌شود. با توجه به اینکه بعد سوم قطعه (ضخامت آن) در مقایسه با طول و عرض آن کوچک می‌باشد و اینکه بارگذاری در قطعه E شکل بطور کلی داخل صفحه آن انجام می‌گیرد، به طور معمول استفاده از یک مدل دو بعدی برای تحلیل تنش آن قابل قبول می‌باشد.

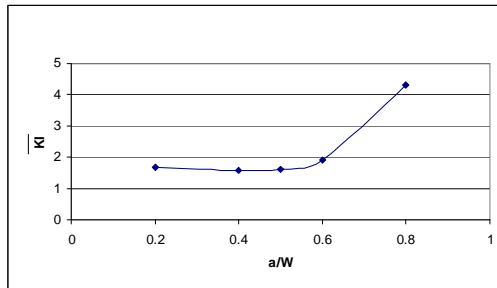
مطابق شکل ۱ برای بارگذاری روی قطعه، سه سوراخ تعییه شده است. سوراخ میانی به یکی از فک های دستگاه تست کشن متعلق می‌شود و دو سوراخ طرفینی از طریق یک فیکسجر U شکل به فک دیگر دستگاه بسته می‌شود. با افزایش بار نهایتاً شکست در قطعه حاصل شده و از روی آن چقرمگی شکست ماده مورد آزمایش تحت بارگذاری برشی محاسبه می‌شود.

¹ Double Crack Punch Specimen

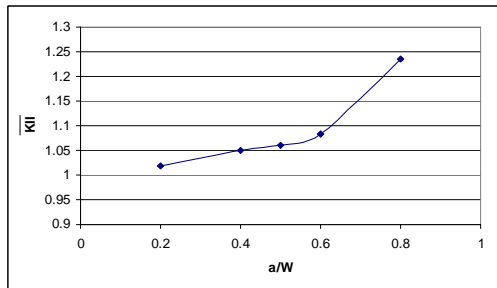
² Boundary Collocation Method

$$\bar{K}_i = \frac{K_i}{\sigma_f \sqrt{a}} \quad i = I, II \quad (6)$$

در هر یک از مسائل حل شده توسط نرم افزار، انتگرال J روی منحنی های بسته اطراف ترک مورد مطالعه قرار گرفت تا پاسخ های به دست آمده برای J ثابت بوده، مستقل از منحنی انتخابی باشد. شکل های ۳ و ۴ به ترتیب تغییرات \bar{K}_I و \bar{K}_{II} را با نسبت طول ترک a/W نشان می دهند.



شکل ۳. نمودار تغییرات ضریب بی بعد \bar{K}_I بر حسب طول ترک های مختلف برای قطعه E شکل.



شکل ۴. نمودار تغییرات ضریب بی بعد \bar{K}_{II} بر حسب طول ترک های مختلف برای قطعه E شکل.

ضرایب شدت تنش تا $a/W = 0.6$ دارای تغییرات چندان زیادی نیستند ولی در $a/W = 0.8$ یک افزایش ناگهانی در هر دو مشاهده می شود. از شکل ۳ معلوم می شود که مقدار \bar{K}_I در قطعه E شکل همواره از مقدارقابل ملاحظه ای برخوردار است. این نکته را می توان به کمک پارامتر R_4 که نسبت ضریب شدت تنش مود ۲ به ضریب شدت تنش مود ۱ را بیان می کند، به صورت واضح تری نمایش داد. شکل ۵ تغییرات R_4 را با a/W نشان می دهد. مطابق با این شکل مقدار R_4 برای کلیه طول ترک های بررسی شده کوچکتر از ۱ می باشد. بطور خاص در $a/W = 0.8$ کاهش چشمگیری در مقدار R_4 مشاهده می شود.

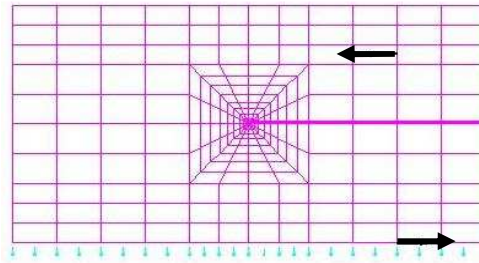
۳. بررسی شکست ترد در قطعه E شکل

نتایج ارائه شده در قسمت قبل نشان داد که مقدار ضریب شدت تنش مود ۱ در قطعه E شکل قابل اعتماد نمی باشد. لذا وجود

بررسی قطعه E شکل جهت تعیین چقمرمگی شکست مواد در بارگذاری برشی E مدول الاستیسیته و ۷ ضریب پوپوسون است. u_2, u_1 جابجایی لبه های ترک به موازات و عمود بر امتداد ترک بوده و علائم $0^-, 0^+$ به ترتیب لبه بالایی و لبه پائینی ترک را مشخص می نمایند. طبق توصیه مرجع [13]، R_4 در نقاطی محاسبه می شود که به اندازه کافی به نوک ترک نزدیک بوده و در عین حال مقدار تقریباً ثابتی را نسبت به x داشته باشد. شایان ذکر است که مساله با فرض کرنشصفحه ای بررسی شده است.

۲-۲. مدلسازی اجزاء محدود

جنس نمونه انتخاب شده، فولاد با مدول الاستیسیته $E=200\text{GPa}$ و ضریب پوپوسون $\nu=0.3$ می باشد. همچنین نیروی متمرکز اعمال شده بر نمونه $P=2000\text{N}$ است. از شکل ۱ می توان تشخیص داد که هندسه و بارگذاری نمونه نسبت به خط گذرا از وسط دو ترک کاملاً متقارن می باشد. بنابراین برای تحلیل اجزاء محدود قطعه کافی است که نصف آن را در نرم افزار مدلسازی نمود. شکل (۳) تصویری از مش بندی نیمی از قطعه E شکل را نشان می دهد.



شکل ۲. نمایی از المان بندی نیمی از قطعه E شکل و بار اعمالی

برای مدل کردن قطعه از ۲۶۴ المان ۸ گرهی کرنش صفحه ای و ۸۸۱ گره استفاده شده است. به منظور افزایش دقت نتایج اجزاء محدود در اطراف ترک از المان های تکین^۱ استفاده شده است. ابعاد نمونه به صورت $W=45\text{mm}$ و $H=25/4\text{mm}$ با انتخاب گردید. با توجه به نیروی متمرکز اعمالی و ابعاد نمونه و بافرض ضخامت واحد برای آن، تنش مرتع

$$\sigma_f = \frac{P}{2H} = 39.4 \text{ MPa} \quad (5)$$

برای بی بعد کردن ضرایب شدت تنش به کارگرفته می شود. به منظور بررسی اثرات طول ترک a روی ضرایب شدت تنش، تحلیل اجزاء محدود برای مقادیر مختلف نسبت طول ترک به عرض قطعه $a/W = 0.2, 0.4, 0.5, 0.6, 0.8$ انجام پذیرفت. برای هر یک از تحلیل های فوق الذکر مقادیر K_{II}, K_I به کمک روابط (۱) الی (۴) محاسبه شده سپس با استفاده از رابطه زیر بی بعد گردیدند:

¹ Singular elements

بعد $(P_f)_{I,II}/(P_f)_{II}$ و $(\theta_0)_{I,II}/(\theta_0)_{II}$ بر حسب تغییرات طول ترک در نمونه E شکل بررسی می شوند. در این پارامترها، $(P_f)_{II}$ بار بحرانی شکست با فرض مود ۲ خالص و $(P_f)_{I,II}$ بار بحرانی شکست با فرض مودهای مخلوط می باشد. همچنین $(\theta_0)_{II}$ زاویه شروع شکست با فرض مود ۲ خالص و $(\theta_0)_{I,II}$ زاویه شکست با فرض مودهای مخلوط می باشد. پارامترهای $(P_f)_{I,II}$ و $(\theta_0)_{I,II}$ برای شرایط واقعی مساله و با احتساب ضرایب شدت تنش K_I ، K_{II} ، محاسبه می شوند. $(\theta_0)_{II}$ و $(P_f)_{II}$ در روابط (۹) و (۱۰) برای حالتی محاسبه می شود که طبق تحقیقات دیگر محققین [مثلا ۱۱] فرض می شود قطعه تحت مود ۲ خالص بوده و مقدار K_I صفر است. به عنوان مثال در رابطه (۹) وقتی K_I برابر صفر فرض می شود، زاویه $(\theta_0)_{II}$ معادل با $\cos^{-1}(\frac{1}{3}) = 70.5^\circ$ به دست می آید. نتایج حاصله از تغییرات $(P_f)_{I,II}/(P_f)_{II}$ و $(\theta_0)_{I,II}/(\theta_0)_{II}$ با طول ترک بدون بعد a/W در شکلهای ۶ و ۷ نشان داده شده است. از این دو شکل مشاهده می شود که هر دو بار بحرانی و زاویه شروع شکست به میزان قابل ملاحظه ای بستگی به مقدار K_I داشته و اغماس نمودن از K_I می تواند به محاسبات غیر دقیقی در نتایج شکست ترد در قطعه E شکل منتهی شود.

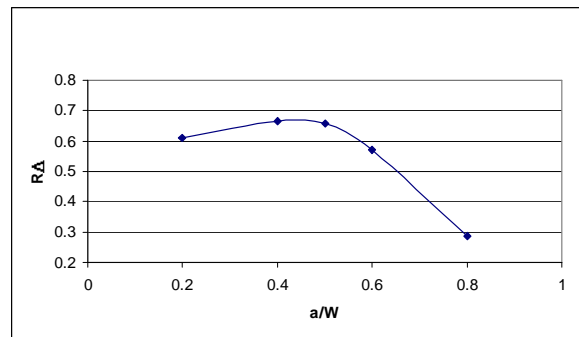
۴. بحث روی نتایج

قطعه E شکل اولین بار توسط جونز و چیشم [۱۱] طراحی شده و مورد بررسی قرار گرفت. در آن تحقیق برداشت اولیه آن بوده است که با توجه به نوع بارگذاری روی قطعه، در امتداد هر یک از ترک ها فقط برش خالص وجود داشته و در نتیجه قطعه برای ایجاد کردن مود ۲ خالص مناسب می باشد.

با همین فرض اولیه، جونز و چیشم قطعه را از روش تقریبی تجمع مرزی تحلیل نموده و فقط ضریب شدت تنش مود ۲ را در آن محاسبه نمودند. اگرچه ایشان به بررسی وجود ضریب شدت تنش مود ۱ و مقدار احتمالی آن نپرداختند، مقایسه ای بین نتایج بدست آمده در اینجا برای K_{II} و نتایج ارائه شده توسط جونز و چیشم [۱۱] مطابقت بسیار خوبی را بین این دو دسته نتایج نشان می دهد (جدول (۱)). مطابقت خوب بین نتایج می تواند مؤید صحت و دقت تحلیل های اجزاء محدود در تحقیق حاضر نیز باشد.

با این وجود مطالعات دقیقتر انجام گرفته در تحقیق حاضر نشان داد که قطعه E شکل تحت بارگذاری تعریف شده در شکل (۱) دارای اثرات زیادی از مود I نیز می باشد. این نکته به خوبی از نتایج ارائه شده در شکل های ۳ و ۵ مشهود می باشد. براساس منحنی موجود در شکل ۳ مقدار K_I در کلیه مقادیر $a/W < 0.2$ از K_{II} بزرگتر می باشد. لازم به ذکر است که علت وجود میزان قابل ملاحظه مود ۱ در قطعه E شکل می تواند مربوط به اثرات خمسی

K_I در این قطعه می تواند روی رفتار شکست ترد آن تاثیر گذار باشد.



شکل ۵. نمودار تغییرات R_d بر حسب طول ترک های مختلف برای قطعه E شکل.

در این قسمت یکی از معیارهای مهم موجود برای تخمین شکست ترد در بارگذاری مركب، موسوم به معیار حداکثر تنش مماسی [۳] به کار گرفته شده و میزان خطای ناشی از حذف اثر K_I در قطعه E شکل مورد مطالعه قرار می گیرد. دو فرضیه موجود در معیار حداکثر تنش مماسی عبارتند از:

الف- گسترش ترک به صورت شعاعی بوده و در امتداد حداکثر تنش مماسی اطراف نوک ترک رخ می دهد.

$$\frac{\partial \sigma_{\theta\theta}}{\partial \theta} \Big|_{\theta=\theta_0} = 0 \quad (7)$$

که امتداد حداکثر تنش مماسی می باشد.

ب- گسترش ترک هنگامی آغاز می شود که مقدار تنش مماسی $\sigma_{\theta\theta}$ در جهت فوق الذکر به حد بحرانی خود یعنی $\sigma_{\theta\theta,C}$ که بستگی به جنس قطعه دارد برسد:

$$\sigma_{\theta\theta_{max}} = \sigma_{\theta\theta} \quad (8)$$

با توجه به توزیع تنش اطراف نوک ترک [۱۴]، روابط ۷ و ۸ بر حسب ضرایب شدت تنش K_I ، K_{II} به صورت زیر نوشته می شود [۳]

$$\frac{(1 - 3 \cos \theta_0)}{\sin \theta_0} = \frac{K_I}{K_{II}} \quad (9)$$

$$\cos \frac{\theta_0}{2} \left[K_I \cos^2 \frac{\theta_0}{2} - \frac{3}{2} K_{II} \sin \theta_0 \right] = K_{II} \quad (10)$$

که در رابطه اخیر، K_{II} چرمگی شکست ماده در مود ۱ می باشد. حال با استفاده از روابط ۹ و ۱۰ و پارامترهای K_{II} ، K_I که قبل از اینکه شده اند می توان به بررسی شکست ترد در قطعه E شکل پرداخت. همانگونه که قبلا اشاره شد، تحقیقات قبلی [۱۱] با فرض قرار داشتن قطعه E شکل در شرایط بارگذاری مود ۲ خالص انجام گرفته است. از این رو در این قسمت اثرات ناشی از فرض فوق بر زاویه شکست و بار بحرانی شکست در قطعه E شکل مورد مطالعه قرار می گیرد. برای حصول هدف مذکور، تغییرات دو پارامتر بدون

نسبت به هم بدون بعد شده و در شکل‌های ۶ و ۷ ارائه شد، نشان می‌دهد که K_I موجود در قطعه E شکل، اثر کاملاً مشهودی روی رفتار شکست ترد در قطعه مورد بحث می‌گذارد.

بعنوان مثال از شکل ۶ می‌توان مشاهده کرد که برای حالت $a/W = 0.6$ بار بحرانی شکست با فرض غیر واقعی مود ۲ خالص تقریباً دو برابر بار بحرانی ای است که براساس معیار حداکثر تنفس مماسی در عمل می‌توان از قطعه انتظار داشت. اختلاف موجود بین این دو بار بحرانی، برای ترک‌های طولانی‌تر (مثل $a/W = 0.8$) زیادتر می‌شود.

بر مبنای توضیحات فوق، مشخص می‌گردد که قطعه E شکل با شرایط بارگذاری نشان داده شده در شکل ۱ برای محاسبه چقرمگی شکست در مود ۲ مناسب نمی‌باشد. با این وجود چنانچه بتوان با انجام اصلاحاتی در قطعه، به صورتی اثرات مود ۱ را خنثی نمود می‌توان انتظار داشت که از نتایج آزمایش روی قطعه اصلاح شده، چقرمگی شکست مود ۲ قابل محاسبه گردد. یک روش مناسب برای اصلاح قطعه به این صورت است که بارهای اعمالی روی دو بازوی کناری قطعه، به صورت زاویه دار به آن وارد شود (مشابه شکل ۸).

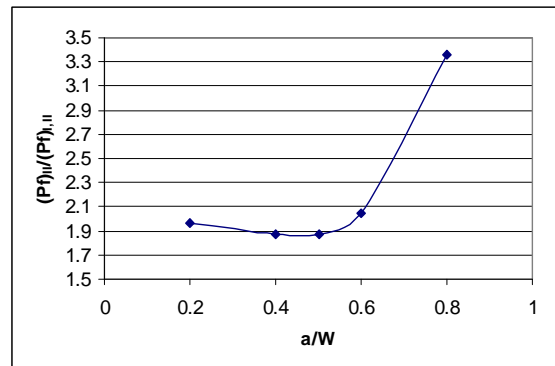
مؤلفه عمود بر ترک در بار زاویه دار، عملاً سبب می‌شود که تمایل به باز شدن دهانه ترک که در حالت قبلی اتفاق می‌افتد خنثی شده و لبه‌های ترک نسبت به یکدیگر فقط لغزش داشته باشند. طبیعی است که زاویه مناسب برای فراهم آوردن چنین شرایطی بستگی به طول ترک خواهد داشت. تعیین زاویه α برای هر طول ترک مشخص بصورت سعی و خط انجام می‌گیرد. به این منظور یک زاویه دلخواه اولیه در نظر گرفته شده و پس از تحلیل اجزاء محدود، نسبت K_I به K_{II} محاسبه می‌شود. با تغییر تدریجی زاویه α ، مقدار مطلوب زاویه که در ازای آن مقدار K_I در مقایسه با K_{II} بسیار ناچیز است تعیین می‌گردد. مقدار مناسب زاویه برای هر نسبت a/W در جدول (۲) مشاهده می‌شود. مقدار K_I و K_{II} و نسبت K_I/K_{II} در هر مورد نیز در این جدول درج شده است.

چنانچه فیکسچر بارگذاری روی قطعه بگونه‌ای طراحی شود که بار روی بازوهای جانبی تحت زاویه α (مطابق جدول (۲)) به آن وارد شود، چقرمگی شکست مود ۲ خالص را می‌توان به کمک قطعه E شکل بدست آورد.

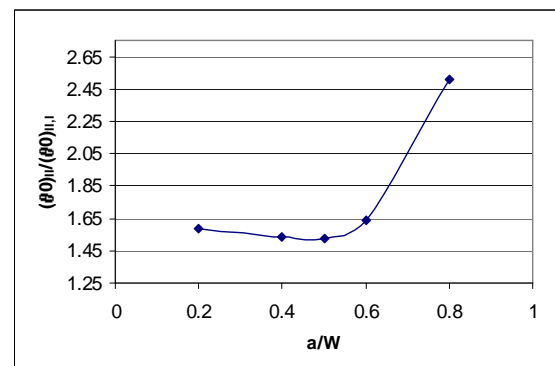
۵. نتیجه گیری

- مطالعه دقیق روی قطعه E شکل نشان داد که بارگذاری پیشنهاد شده در مرجع [11] مقدار قابل توجهی اثرات مود ۱ را در اطراف ترک به وجود می‌آورد. لذا چنین قطعه‌ای برای آزمایش شکست ترد در بارگذاری تحت مود ۲ خالص مناسب نمی‌باشد.
- میزان خطای ناشی از صرف نظر کردن از اثرات مود ۱ در قطعه E شکل در محاسبه چقرمگی شکست قطعه غیر قابل اغماض است.

بررسی قطعه E شکل جهت تعیین چقرمگی شکست مواد در بارگذاری برشی ای باشد که در دو بازوی کناری قطعه ظاهر شده، سبب باز شدن دهانه ترک‌ها می‌شود. این اثرات خمشی در شکل تغییر فرم یافته قطعه در نرم افزار نیز به وضوح مشاهده گردید.



شکل ۶. نمودار تغییرات بار بحرانی مود ۲ به مودهای مخلوط بر حسب طول ترک‌های مختلف برای قطعه E شکل



شکل ۷. نمودار تغییرات زاویه شروع شکست مود ۲ به مودهای مخلوط بر حسب طول ترک‌های مختلف برای قطعه E شکل

به طور کلی برای محاسبه چقرمگی شکست در قطعات ترکدار، ابتدا قطعه تحت بار قرار گرفته و مقدار بار بحرانی شکست از طریق آزمایش تعیین می‌گردد. سپس با استفاده از روش‌های پیشنهادی در استاندارد و به کمک رابطه موجود بین بار و ضریب شدت تنفس، مقدار چقرمگی شکست ماده مورد نظر مشخص می‌شود. فرایند فوق برای شکست ترد در هر یک از مودهای ۱ یا ۲ قابل استفاده می‌باشد. برای بارگذاری مرکب، تعیین چقرمگی شکست توسط معیارهای مناسب موجود در این زمینه انجام می‌شود. یکی از این معیارها که بیشتر مورد توجه محققین قرار گرفته است معیار حداکثر تنفس مماسی می‌باشد. به منظور بررسی میزان خطای که به علت منظور نکردن اثر K_I در قطعه E شکل حاصل می‌شود دو دسته محاسبه انجام پذیرفت. در حالت اول مطابق با مقاله جونز و چیشم [11] فرض شد که قطعه تحت مود ۲ خالص قرار دارد. در حالت دوم شرایط واقعی مساله مورد توجه قرار گرفته و اثرات K_{II}, K_I هر دو منظور گردید. نتایج این دو دسته محاسبه که

جدول ۱. نتایج بدست آمده برای (\bar{K}_{II}) در مقایسه با نتایج مرجع [11]

a/W	نتایج جونز و چیشم (\bar{K}_{II})	نتایج تحقیق حاضر (\bar{K}_{II})
0.2	1.02	1.03
0.4	1.03	1.05
0.5	1.05	1.06
0.6	1.07	1.08
0.8	1.19	1.23

جدول ۲. پارامترهای شکست محاسبه شده برای قطعه E شکل در طول ترکهای مختلف در حالت بارگذاری زاویه دار.

a/W	α	$K_I (MPa\sqrt{mm})$	$K_{II} (MPa\sqrt{mm})$	K_{II}/K_I
0.2	78.1	0.577	273.5	474
0.4	79.7	0.148	428.4	2894.6
0.5	80.45	0.348	470.1	1350.8
0.6	80.7	0.832	520	625
0.8	80.55	0.694	832	1198.84

[3] Erdogan, F. and Sih, G.C. "On the crack extension in plates under plane loading and transverse shear" Journal of Basic Engineering, Transaction of ASME, Vol. 85, 1963, PP. 525-527.

[4] Richard, H.A. "A new compact shear specimen" International Journal of Fracture, Vol. 17, 1981, PP. 105-107.

[5] Miles, L. and Gladwin, N. "Evaluation of mode II fracture toughness using single punch specimen" Research Report, CEGB, TD/SIP/121691, 1991.

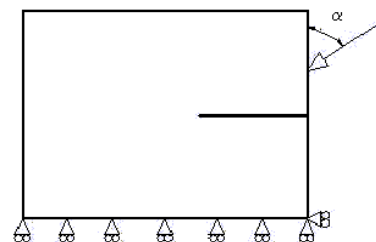
[6] Miles, L. "Development of a mode II fracture toughness testing procedure for an elastic-plastic material", Scientific Service Department, Research Report, CEGB, SSD/SW/R395, 1982.

[7] Maccagno, T.M. and Knott, J.F. "The fracture behavior of PMMA in mixed mode I and II" Engineering Fracture Mechanics, Vol. 34, No.1, 1989, PP. 65-86.

[8] He, M.Y. and Hutchinson, J.W. "Asymmetric four-point crack specimen," Journal of Applied Mechanics, Vol. 67, 2000, PP. 207-209.

[9] Ueda, Y., Ikeda, K., Yao T. and Aoki, M. "Characteristics of brittle fracture under general combined modes including those under bi-axial tensile loads", Engineering Fracture Mechanics, Vol. 18, No. 6, 1983, PP. 1131-1158.

[10] Ewing, P.D. and Williams, J.G. "The fracture of spherical shells under pressure and circular tubes with angled cracks in torsion" International Journal of Fracture, Vol. 10, No. 4, 1974, PP. 537-544.



شکل ۸. اصلاح شرایط بارگذاری جهت ایجاد مود ۲ خالص

بهمین دلیل نتایج تست شکست، مقدار واقعی چقرمگی شکست مود ۲ در ماده مورد نظر را تعیین نمی کند.

۳- با اصلاح فیکسچر بارگذاری بگونه ای که بار اعمالی با زاویه مناسبی به قطعه وارد شود می توان اثرات ناشی از مود ۱ را خنثی نموده، شرایط لازم برای آزمایش شکست مود ۲ خالص را فراهم نمود.

مراجع

[1].ASTM Standard, vol. 3.01, *Metal Mechanical Testing*, ASTM, 2002.

[2] Banks-Sills, L. and Arcan, M. "A compact mode II fracture specimen," Fracture Mechanics, ASTM STP 905, Philadelphia, 1986, PP. 347-363.

- [13] ABAQUS, V 5.7 ,User's Manual, Hibbit, Karlsson and Sorensen Inc, Rhode Island,1997.
- [14] Anderson, T. L. "Fracture Mechanics, Fundamentals and Applications" CRC Press, 1995.

[11] Jones, D.L and Chisholm, D.B. "An investigation of the edge-sliding mode in fracture mechanics" Experimental Mechanics, Vol. 7, 1975, PP. 261-270.

[12] Rice, J.R. "A path independent integral and the approximate analysis of strain concentration by notches and cracks" Journal of Applied Mechanics, Vol. 35, 1968, PP. 379-386.